이터븀 첨가 능동형 Q-스위칭 광섬유 레이저에서 Q-스위치 상승 시간이 출력 펄스에 미치는 영향에 대한 이론적 분석

전진우 \cdot 이준수 \cdot 이주한 †

서울시립대학교 전자전기컴퓨터공학부 ② 130-743 서울특별시 동대문구 서울시립대로 163

(2013년 2월 27일 받음, 2013년 4월 12일 수정본 받음, 2013년 4월 15일 게재 확정)

본 논문에서는 능동형 Q-스위칭 광섬유 레이저에서 Q-스위치 상승 시간이 출력 펄스에 미치는 영향을 이론적으로 분석하였다. Finite Difference Time Domain (FDTD) 방법을 이용해서 비율 방정식과 전파 방정식에 대한 모델링을 수행하였다. Q-스위칭 광섬유 레이저에서 발생하는 Q-스위칭 펄스의 생성에 있어서 Q-스위치의 상승 시간이 출력 펄스 특성에 미치는 영향을 이론적으로 분석하였다. 또한, Q-스위치의 반복률에 따른 출력 펄스의 에너지 변화와 파형 변화를 확인하였다. Q-스위치 반복률이 높아지고, Q-스위치의 상승 시간이 길어질수록 출력 펄스의 멀티 피크 현상이 줄어들고 안정된 가우시안 형태의 펄스 파형이 발생함을 확인 할 수 있었다.

Theoretical Analysis of Impact of Q-switch Rise Time on Output Pulse Performance in an Ytterbium-doped Actively Q-switched Fiber Laser

Jinwoo Jeon, Junsu Lee, and Ju Han Lee[†]

School of Electrical and Computer Engineering, University of Seoul, Seoul 130-743, Korea

(Received February 27, 2013; Revised manuscript April 12, 2013; Accepted April 15, 2013)

A theoretical analysis of the impact of rise time of a Q-switch on the output pulse performance is carried out in an Ytterbium-doped actively Q-switched fiber laser. The finite difference time domain (FDTD) method is used to numerically simulate the Q-switched fiber laser. It is shown that stable Gaussian-like pulse shape can be generated when the Q-switch rise time is increased and pulse repetition rate is enlarged.

Keywords: Q-switching, Fiber laser, Ytterbium-doped fiber OCIS codes: (060.2320) Fiber optics amplifiers and oscillators; (140.3540) Lasers, Q-switched; (140.3615) Lasers, ytterbium

I. 서 론

희토류가 첨가된 고출력 광섬유 레이저는 높은 효율, 소형화, 고 품질의 빔 퀄리티 때문에 현재 많은 산업분야에 이용되고 있으며 지속적으로 많은 관심을 받고 있는 연구분야이다. [1, 2] 특히 이터븀이 첨가된 Q-스위칭 광섬유 레이저는 매우 높은 피크파워와 고 에너지를 갖는 펄스를 생성할 수 있기 때문에 의료, 군사, LIDAR 등 많은 응용분야에 이용되고 있다. [3, 4] Q-스위칭 레이저는 크게 수동형 방법과 능동형 방법에 의해서 구동된다. 수동형 Q-스위칭 레이저는 세기가 약한 빛은 많은 손실을 겪고 세기가 강한 빛은 매우 작은 손실

을 갖는 포화흡수체의 포화흡수 효과에 의해서 동작된다.^[5] 수동형 방법은 수동 소자를 이용하기 때문에 레이저의 구성이 간단하고 가격이 저렴한 장점이 있다. 하지만 포화흡수체의 물리적 조건에 의해서 레이저의 특성이 결정되기 때문에한 번 구성된 레이저의 펄스 폭, 반복률, 첨두 파워, 펄스 파형과 같은 특성을 쉽게 조절할수 없는 제한이 있다. 이와는 반대로 능동형 방법에서는 외부 신호를 이용해서 Q-스위칭 소자를 조절하므로 출력 펄스의 특성을 자유롭게 제어할수 있는 장점을 갖고 있으며 현재 많은 응용분야에 이용되고 있다.^[6,7]

본 논문에서는 이터븀 첨가 광섬유기반 Q-스위칭 레이저

[†]E-mail: j.h.lee@ieee.org

Color versions of one or more of the figures in this paper are available online.

내에서 Q-스위치의 상승 시간이 출력 펄스 파형에 미치는 영향에 대한 이론적 분석을 수행하였다. Finite Difference Time Domain(FDTD) 방법을 이용하여 Q-스위칭 이터븀 첨가 광섬유 레이저에서 Q-스위칭 펄스의 생성을 모델링 하였으며 Q-스위칭 레이저에서 발생하는 멀티 피크 현상을 Q-스위치의 상승 시간을 늘리거나 반복률을 높임으로써 억제할수 있음을 확인하였다. 마지막으로 Q-스위치의 상승시간과 반복률에 따른 출력 펄스 에너지 변화를 분석하였다.

II. 이터븀 첨가 광섬유기반 능동형 Q-스위칭 레이저 모델링

일반적인 Q-스위칭 광섬유 레이저의 구성도가 그림 1에 나타나있다. 레이저 공진기는 펌프, Beam Splitter(BS), 이득 물질 광섬유, 그리고 2개의 거울 M1, M2로 이루어져 있으며 Q-스위치로는 Acousto-Optic Modulator(AOM)을 이용하였다. 출력 파워는 공진기 왼쪽의 BS에 의해서 출력된다. 거울 M1은 공기와 실리카 사이의 4% 반사율을 의미한다. 거울 M2는 AOM 에 의해서 반사율이 조절되며 거울 M2의 반사율은 Q-스위치가 꺼졌을 때 0%, Q-스위치가 켜졌을 때 100% 이었으며 시간에 따라 선형적으로 변한다고 가정하였다. 또한 이터븀 광섬유는 그라운드 상태와 들뜬 상태를 갖는 2-level 시스템으로 가정하였다. 공진기 내부에서 Q-스위칭 펄스의 생성과정을 보이기 위해서는 비율 방정식과 전파 방정식을 계산해야 하며 이 방정식들은 식 (1)~(4)에 나타나 있다.^[8]

$$N = N_1 + N_2 \tag{1}$$

$$\frac{\partial N_2}{\partial t} + \frac{N_2}{\tau} = \frac{\Gamma_\rho \lambda_\rho}{\hbar c A_{so}} \left[\sigma_{a\rho} N_1 - \sigma_{e\rho} N_2 \right] P_\rho + \frac{\Gamma_s \lambda_s}{\hbar c A_{so}} \left[\sigma_{as} N_1 - \sigma_{es} N_2 \right] P_s^+ + P_s^-$$
 (2)

$$\frac{\partial P_{\rho}}{\partial x} + \frac{1}{v_{\rho}} \frac{\partial P_{\rho}}{\partial t} = \Gamma_{\rho} \left[\sigma_{e\rho} N_{2} - \sigma_{g\rho} N_{1} \right] P_{\rho} - \alpha_{\rho} P_{\rho}$$
 (3)

$$\pm \frac{\partial \mathcal{P}_{s}^{\pm}}{\partial x} + \frac{1}{v_{s}} \frac{\partial \mathcal{P}_{s}^{\pm}}{\partial t} = \Gamma_{s} \left[\sigma_{es} N_{2} - \sigma_{as} N_{1} \right] \mathcal{P}_{s}^{\pm} - \alpha_{s} \mathcal{P}_{s}^{\pm} + 2 \sigma_{es} N_{2} \frac{hc^{2}}{\lambda_{s}^{3}} \Delta \lambda_{s} \qquad \textbf{(4)}$$

식 (1), (2)는 시간에 따른 그라운드 상태와 들뜬 상태에 있는 이터븀 이온의 변화를 나타내는 비율 방정식이며 식 (3), (4)는 펌프와 신호가 시간과 공간 변화에 따라서 어떻게 변

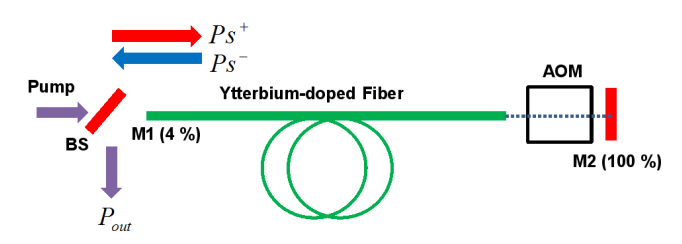


FIG. 1. Schematic of the Q-switched fiber laser used in this study.

화하는지를 나타내는 전파 방정식이다. P_p 는 펌프, P_s^+ 는 포워드 신호, P_s^- 는 백워드 신호의 세기를 뜻하며 N_1 은 그라운드 상태, N_2 는 들뜬 상태, N은 광섬유에 도핑된 전체 이온을 의미한다. Γ_p , Γ_s 는 각각 펌프 와 코어, 신호와 코어의 중첩 Factor를 나타내며 A_{co} 는 코어의 넓이, h는 플랑크 상수, V_s 는 신호의 주파수, V_p 는 펌프의 주파수를 나타낸다. σ_{ap} , σ_{ep} 는 펌프 파장의 흡수 Cross-section을 나타내며 σ_{as} , σ_{es} 는 신호 파장의 흡수 Cross-section과 방출 Cross-section와 강출에서의 광석유 손실을 나타낸다. $\Delta \lambda_s$ 는 신호의 대역폭을 의미하며 Amplified Spontaneous Emission(ASE)의 생성에 관련되어 있다.

Q-스위칭 레이저 공진기를 모델링 하기 위해서는 우선 Q-스위치가 꺼져있을 때 공진기 내부의 초기값을 계산해야 한다. 시간에 따른 변화량이 없다고 가정하면 식 (1)~(4)은 다음과 같이 간략하게 표현할 수 있다.^[9]

$$0 = (R_{12} + W_{12})W_1(x) - (R_{21} + W_{21} + A_{21})W_2(x)$$
(5)

$$\frac{dP_{\rho}(x)}{dx} = \Gamma_{\rho} \left[\sigma_{\rho\rho} N_{2}(x) - \sigma_{\rho\rho} N_{1}(x) \right] P_{\rho}(x) - \alpha_{\rho} P_{\rho}(x)$$
(6)

$$\pm \frac{dP_s^{\pm}(x)}{dx} = \Gamma_s \left[\sigma_{es} N_2(x) - \sigma_{as} N_1(x) \right] P_s^{\pm} - \alpha_s P_s^{\pm}(x) + N_2(x) \sigma_{es} 2 \frac{hc^2}{\lambda_s^3} \Delta \lambda_s \qquad (7)$$

 $N_I(x)$ 과 $N_2(x)$ 는 광섬유 길이 x에 따른 이온의 분포를 나타내며, $P_p(x)$, $P_s^+(x)$, $P_s^-(x)$ 는 각각 펌프, 포워드 신호, 백워드 신호가 광섬유 길이 x에 따른 분포를 나타낸다. 이때 계수 R_{I2} , R_{2I} 은 펌프의 흡수와 방출율을 의미하며 W_{I2} , W_{2I} 은 신호의 흡수 및 방출율을 나타내고, A_{2I} 은 이터븀 이온의 Lifetime τ 의 역수를 뜻하며 식 (8), (9)에 나타나 있다.

$$R_{12} = \frac{\sigma_{a\rho} P_{\rho}(x) \Gamma_{\rho}}{A_{co} h \nu_{\rho}}, \quad R_{21} = \frac{\sigma_{a\rho} P_{\rho}(x) \Gamma_{\rho}}{A_{co} h \nu_{\rho}}$$
(8)

$$W_{12} = \frac{\sigma_{as} \left[P_{s}^{+}(x) + P_{s}^{-}(x) \right] \Gamma_{s}}{A_{co} h \nu_{s}},$$

$$W_{21} = \frac{\sigma_{as} \left[P_{s}^{+}(x) + P_{s}^{-}(x) \right] \Gamma_{s}}{A_{co} h \nu_{s}}, \quad A_{21} = \frac{1}{\tau}$$
(9)

Rounge-Kutta 4차 방법을 이용해서 초기값을 계산하였으며 경계 조건으로 식 (10)을 이용하였다.

$$P_{p}(0) = Pump , P_{s}^{+}(0) = R_{1}P_{s}^{-}(0), P_{s}^{-}(L) = 0$$
 (10)

 $P_p(0)$ 는 광섬유 시작 위치에서의 펌프값을 나타내며 0은 광섬유 길이의 시작 부분을 의미하며 L은 광섬유 끝 부분을 의미한다. 경계조건 $P_s^+(0)=R_1P_s^-(0)$ 은 시작 위치에서의 포워드 신호는 백워드 신호와 거울 M1의 반사율 R_1 의 곱으로 표현됨을 의미한다. $P_s^-(L)=0$ 는 광섬유 끝에서의 경계조건을 나타내며 Q-스위치가 꺼져 있기 때문에 반사되어 돌아오는 신호가 없는 것을 나타낸다. 모델링에 이용된 파라미터 값은 표 1에 나타나 있다.

계산된 초기값을 이용해서 Q-스위치가 켜졌을 때 시간에 따른 출력 펄스의 생성을 확인해야 한다. 이를 위해서 식 (1) \sim (4) 를 FDTD 방법을 이용해서 계산하였으며 시간과 공간에 대해서 표현하면 식 (11) \sim (14) 로 나타낼 수 있다. 이때 $\Delta t = \Delta x/v$ 를 이용해서 시간과 거리에 따른 변화를 동시에 표현하였다. Δx 는 광섬유의 미세길이 변화를 의미하며 광섬유 길이 5 m 계산시 200개 이상으로 분할해야 절단오차가 발생하지 않고 계산이 가능하였다.

$$N_2(x,t+\Delta t) = N_2(x,t) + [(R_{12} + W_{12})N_1(x,t) - (R_{21} + W_{21} + A_{21})N_2(x,t)]\Delta t$$
 (11)

$$P_{\rho}(x + \Delta x, t + \Delta t) = P_{\rho}(x, t) + \Gamma_{\rho}[\sigma_{s\rho}N_{2}(x, t) - \sigma_{s\rho}N_{1}(x, t)]P_{\rho}(x, t)\Delta x
- \alpha_{\rho}P_{\rho}(x, t)\Delta x$$
(12)

$$P_s^+(x + \Delta x, t + \Delta t) = P_s^+(x, t) + \Gamma_s \left[\sigma_{es} N_2(x, t) - \sigma_{as} N_1(x, t)\right] P_s^+ \Delta x + \Gamma_s N_2(x, t) \sigma_{es} 2n_m h c^2 \Delta \lambda_s / \lambda_s^3 \Delta x - \alpha_s P_s^+(x, t) \Delta x$$
(13)

$$P_{s}^{-}(x - \Delta x, t + \Delta t) = P_{s}^{-}(x, t) + \Gamma_{s} \left[\sigma_{es} N_{2}(x, t) - \sigma_{as} N_{1}(x, t)\right] P_{s}^{-}(x, t) \Delta x$$

$$+ \Gamma_{s} N_{2}(x, t) \sigma_{es} 2 n_{m} h c^{2} \Delta \lambda_{s} / \lambda_{s}^{3} - \alpha_{s} P_{s}^{-}(x, t) \Delta x$$
(14)

Q-스위치의 동작은 그림 2에 나타난 것처럼 모델링 하였으며 au_{rise} , au_{fall} 은 스위치의 상승 시간과 하강 시간을 의미한다. Switch On 상태는 거울 M2의 반사율이 100% 일 때를 의미하며 Switch Off 상태는 M2의 반사율이 0% 일 때를 의미한다. Duty Cycle은 스위치의 주기 T에서 스위치의 동작 시

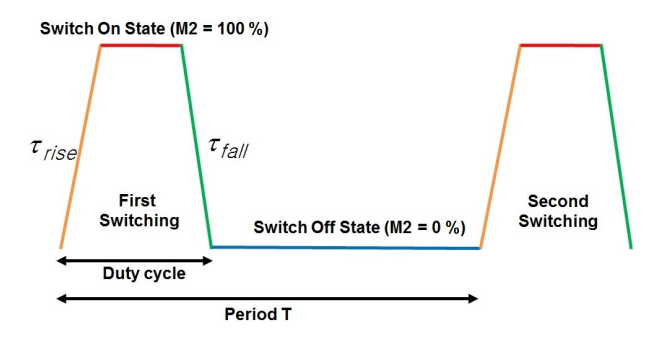


FIG. 2. Q-switch timing diagram.

TABLE 1. Parameters of the actively Q-switched, ytterbium-doped fiber laser used for the numerical simulation

Parameter	Symbol	Unit	Value
Pump Wavelength	$\lambda_{\scriptscriptstyle \mathcal{D}}$	nm	915
Signal Wavelength	λ_s	nm	1064
Pump Absorption Cross-section	$\sigma_{\!a\! ho}{}^c$	m ²	5.285×10 ⁻²⁵
Pump Emission Cross-section	$\sigma_{ep}{}^c$	m ²	1.957×10 ⁻²⁶
Signal Absorption Cross-section	$\sigma_{\!\scriptscriptstyle as}{}^c$	m ²	5.520×10 ⁻²⁷
Signal Emission Cross-section	$\sigma_{_{\!\scriptscriptstyle{artheta\!S}}}{}^{c}$	m ²	3.272×10 ⁻²⁵
Pump Propagation Loss	$lpha_{\!\scriptscriptstyle \mathcal{D}}{}^{b}$	dB/m	0.0126
Signal Propagation Loss	$a_{\!\scriptscriptstyle arsigma}^{b}$	dB/m	0.02
Lifetime	$ au^c$	S	0.85×10 ⁻³
Signal Linewidth	$\Delta \lambda_{_{\!S}}{}^{a}$	nm	1
Refractive Index	n		1.45
Overlap Factor at Signal Wavelength	Γ_s		0.75
Overlap Factor at Pump Wavelength	$\Gamma_{\! ho}$		0.0025
Reflectivity of R ₁	R_I		0.04
Q-switch Fall Time	$ au_f$	ns	12

^a Data from Ref. [9].

^b Numerically estimated data (Ref. [9]).

^c Data of a commercially available fiber.

간 비율을 나타낸다. 너무 낮은 Duty Cycle은 밀도 반전된 에 너지를 충분히 방출할 시간이 부족하고 너무 높은 Duty Cycle은 밀도 반전에 필요한 펌핑 시간이 부족하기 때문에 최적의 Duty Cycle를 설정하는 것이 필요하다. 최적의 Duty Cycle은 펌핑 파워, 광섬유 길이 및 Q-스위치의 반복률에 의해서 결정되며 본 모델링에서는 20% 의 Duty Cycle을 적용하였다.

Ⅲ. 모델링 결과 및 분석

Q-스위치의 상승 시간과 반복률에 따른 출력 펄스의 특성을 분석하였다. 상승 시간은 12, 120, 240, 360 ns 로 설정하였으며 이때 Q-스위치의 하강 시간은 12 ns로 고정하였다. 그림 3은 Q-스위치의 상승 시간이 12 ns, 120 ns, 240 ns, 360 ns 일 때 출력 펄스의 파형 변화를 Q-스위치의 반복률 20 kHz, 30 kHz, 40 kHz에 대해서 나타내고 있다. 각 펄스는처음 Q-스위치가 동작 한 후 안정된 상태에서 발생한 20 번째 펄스의 파형을 나타낸다.

그림 3에 나타나 있듯이 펄스의 반복률이 낮은 20 kHz 일 때 펄스의 피크 파워가 가장 높았으며 멀티피크 현상이 가장 심하게 발생하였다. 이러한 멀티 피크 현상은 높은 펄스 에 너지를 갖는 Q-스위칭 레이저에서 발생하는 것으로 알려져 있으며 실험을 통해서 보고된 적이 있다.^[10] 각 피크 사이의 간격은 48 ns 이었으며 이는 공진기의 왕복 시간과 일치 하 였다. Q-스위치의 상승 시간이 가장 빠른 12 ns 일 때 이러 한 멀티 피크 현상은 더욱 심하게 나타났으며 Q-스위치의 상승 시간이 길어질수록 멀티 피크 현상은 감소함을 확인 할 수 있었다. 이러한 이유는 Q-스위치의 상승시간이 공진기의 왕복 시간에 가까울 정도로 빠를 경우 공진기 내부에 Q-스 위치의 반응을 따라서 초기 펄스가 공진기 내부에 생성되기 때문이다.[11] 이러한 폭이 짧은 펄스의 생성은 공진기를 왕복 하면서 증폭되는데, 증폭기의 이득이 충분히 포화 되어있는 경우 왕복시간 이후의 신호와 증폭되는 양이 다르기 때문에 멀티 피크 현상이 나타나게 된다. Q-스위치의 반복률이 20 kHz, 상승 시간이 12 ns일 때 멀티 피크 현상이 가장 심하게 발생하였음을 확인 할 수 있었다. Q-스위치의 상승 시간이 증가하고 펄스의 반복률이 증가할수록 멀티 피크 현상은 억 제되었다. 상승 시간이 증가할수록 공진기 내부의 초기 펄스 가 천천히 증폭되기 때문으로 생각된다. 또한 펄스의 반복률 이 높을수록 공진기 내부에 밀도 반전 되어있는 양이 적어지 기 때문에 급격하게 증폭되는 펄스의 양이 줄어드는 것으로 여겨진다. Q-스위치의 상승 시간이 240 ns 이상일 경우에는 가우시안 형태의 펄스 파형을 나타냄을 확인 할 수 있었다. 멀티 피크 현상은 Q-스위치의 상승시간을 증가시키고, Q-스 위치의 반복률을 높임으로써 억제 할 수 있을 것이다. 하지 만 Q-스위치 상승 시간의 증가는 펄스의 폭을 넓게 하고 피 크파워의 감소로 이어진다. 또한 Q-스위치의 높은 반복률 역 시 펄스의 에너지와 피크파워의 감소를 유발하기 때문에 최 적의 펄스를 생성하기 위해서는 광섬유 길이와 펌프 파워에

따라서 최적의 Q-스위치 상승시간과 반복률을 적용해야 할 것으로 생각된다.

그림 4는 첫 번째 Q-스위치의 동작부터 20 번째 동작까지 Q-스위치의 반복률과 상승 시간에 따른 출력 펄스 에너지의 변화를 나타내고 있다. 초기 Q-스위치가 꺼져 있는 상태에서

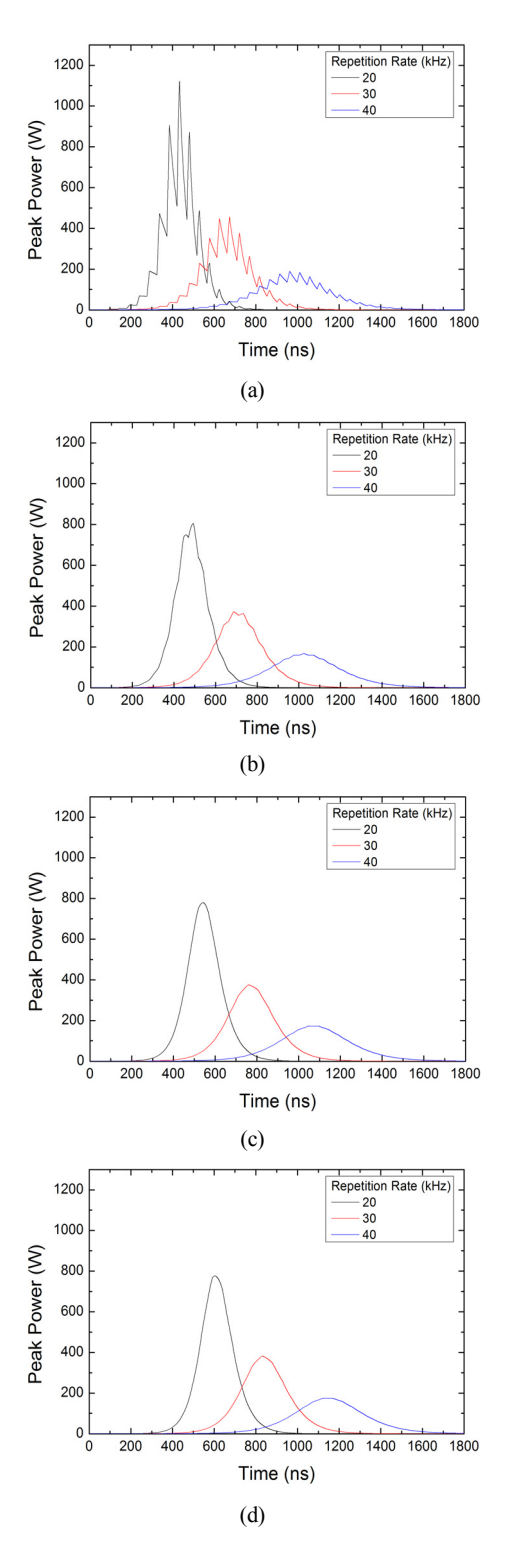


FIG. 3. Numerically simulated output pulse shapes for various Q-switch rise time values: (a) 12 ns, (b) 120 ns, (c) 240 ns, (d) 360 ns.

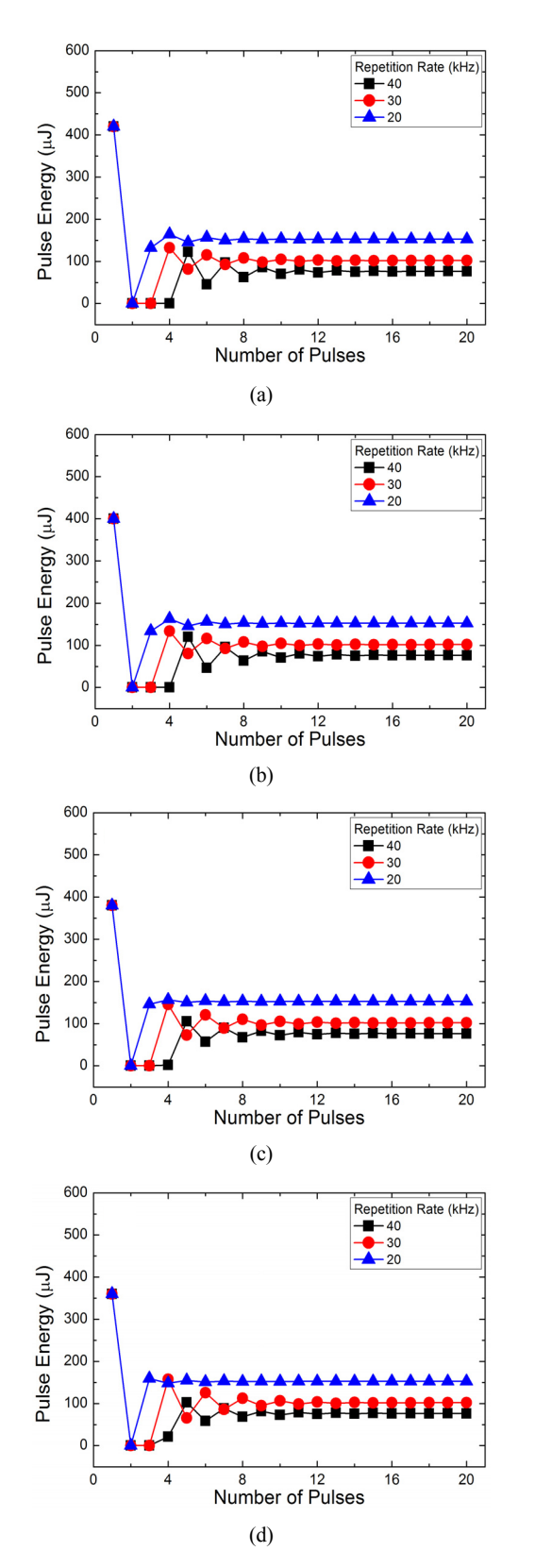


FIG. 4. Numerically simulated pulse energy evolution for various rise time values: (a) 12 ns, (b) 120 ns, (c) 240 ns, (d) 360 ns.

처음 Q-스위치가 켜지면서 동작 할 때는 오랜 시간 동안 펌 핑이 지속된 상태이기 때문에 밀도 반전이 충분히 포화 되어

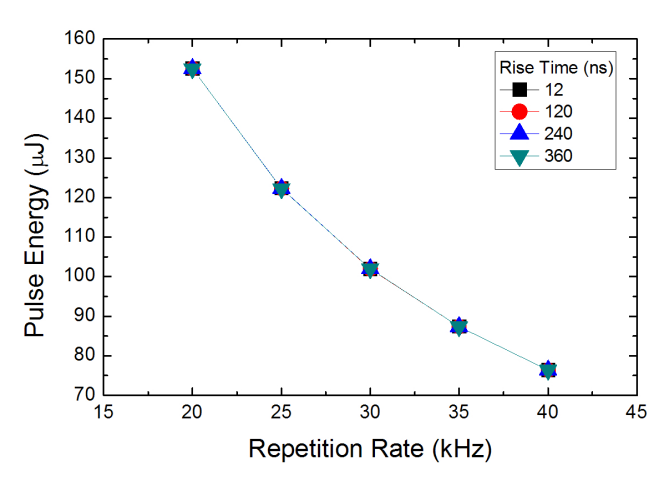


FIG. 5. Numerically simulated pulse energy versus repetition rate for various rise time values.

있는 상태이다. 하지만 그 이후부터는 Q-스위치 반복률 과 Duty Cycle 에 의해서 밀도 반전 시간이 정해지기 때문에 펼스의 에너지는 처음 발생한 펄스와 다르며 이후 몇 번의 변화를 겪은 후 정상상태에 도달함을 알 수 있다. 처음 펄스는 모두 동일한 펄스 에너지를 가지며 안정화가 된 후에는 낮은 반복률일 때 펄스 에너지가 가장 큼을 확인 할 수 있었다. 반복률이 낮을수록 펌프에 의해서 밀도반전이 일어나는 시간이 길어지기 때문이다. Q-스위치의 상승 시간이 느릴수록 첫 번째 펄스의 에너지가 작음을 확인 할 수 있었다. 하지만처음 Q-스위치의 동작 후 펄스 에너지가 안정될 때까지 펄스 에너지의 변화에는 Q-스위치의 상승 시간이 크게 영향을 미치지 않음을 확인 하였다.

다음으로 Q-스위치의 상승 시간과 반복률에 따른 출력 펄스 에너지를 분석하였으며 그림 5에 나타나 있다. 이때 Q-스위치의 Duty Cycle은 모두 20%로 고정하였다. 펄스의 반복률이 20 kHz에서 40 kHz로 증가할수록 펄스의 에너지가 감소하는 현상이 나타남을 확인 할 수 있었다. 이러한 이유는 Q-스위치의 반복률이 낮은 경우 펌프에 의해서 밀도 반전이일어나는 시간이 길어지기 때문이다. Q-스위치의 상승 시간에 따른 출력 펄스의 에너지는 일정하였으며 출력 펄스의 에너지는 Q-스위치의 상승 시간에 크게 영향을 받지 않는 것으로 판단된다.

IV. 결 론

Q-스위칭 광섬유 레이저를 이론적으로 모델링 하였으며 Q-스위치의 상승 시간과 반복률의 변화가 펄스의 형태와 에너지 측면에서 레이저 출력에 미치는 영향을 분석 하였다. Q-스위치의 상승 시간을 늘리거나 반복률을 높임으로써 출력 펄스의 멀티 피크 현상을 억제할 수 있음을 확인하였으며 출력 펄스의 에너지는 Q-스위치의 상승 시간에 크게 영향을 받지 않음을 확인하였다. 요구되는 펄스 폭과 에너지를 갖는 Q-스위칭 펄스를 얻기 위하여 Q-스위치의 상승 시간과 반복

률 최적화가 필수적임을 확인하였다. 본 논문에서 얻은 이론 적 지식은 실질적인 Q-스위칭 광섬유 레이저 제작에 유용하 게 활용될 수 있을 것으로 기대된다.

감사의 글

이 논문은 2012년도 서울시립대학교 교내학술연구비에 의 하여 연구되었음.

References

- J. A. Alvarez-Chavez, H. L. Offerhaus, J. Nilsson, P. W. Turner, W. A. Clarkson, and D. J. Richardson, "High-energy, high-power ytterbium-doped Q-switched fiber laser," Opt. Lett. 25, 37-39 (2000).
- D. J. Richardson, J. Nilsson, and W. A. Clarkson, "High power fiber lasers: current status and future perspectives," J. Opt. Soc. Am. B 27, 63-92 (2010).
- A. Piper, A. Malinowski, K. Furusawa, and D. J. Richardson, "High-power, high-brightness, mJ Q-switched ytterbium-doped fiber laser," Electron. Lett. 40, 928-929 (2004).
- V. Philippov, C. Codemard, Y. Jeong, C. Alergria, J. K. Sahu, and J. Nilsson, "High-energy in-fiber pulse amplification for coherent lidar applications," Opt. Lett. 29, 2590-2592 (2004).

- M. Laroche, H. Gilles, S. Girard, N. Passilly, and K. Aït-Ameur, "Nanosecond pulse generation in a passively Q-switched Yb-doped fiber laser by Cr⁴⁺: YAG saturable absorber," IEEE Photon. Tech. Lett. 18, 764-766 (2006).
- M. Delgado-Pinar, D. Zalvidea, A. Díez, P. Pérez-Millán, and M. V. Andrés, "Q-switching of an all-fiber laser by acousto-optic modulation of a fiber Bragg grating," Opt. Express 14, 1106-1112 (2006).
- Y. M. Chang, J. Lee, and J. H. Lee, "Active Q-switching in an erbium-doped fiber laser using an ultrafast siliconbased variable optical attenuator," Opt. Express 19, 26911-26916 (2011).
- Y. Wang and C.-Q. Xu, "Understanding multipeak phenomena in actively Q-switched fiber lasers," Opt. Lett. 29, 1060-1062 (2004).
- Y. Huo, R. T. Brown, G. G. King, and P. K. Cheo, "Kinetic modeling of Q-switched high-power ytterbium-doped fiber laser," Appl. Opt. 43, 1404-1411 (2004).
- S. Adachi and Y. Koyamada, "Analysis and design of Q-switched erbium-doped fiber laser and their application to OTDR," J. Lightwave Technol. 20, 1506-1511 (2002).
- E.-L. Lim, S.-U. Alam, and D. J. Richardson, "The multipeak phenomena and nonlinear effects in Q-switched fiber lasers," IEEE Photon. Tech. Lett. 23, 1763-1765 (2011).